

1. Motivation

- Schaltungsfamilien

2. Transistoren in analogen Schaltungen

- Inverter
- Kleinsignalverhalten
- Differenzstufe
- Transistor als Widerstand
- Stromquellen
- Inverter und Differenzstufe mit Stromspiegel
- Ausgangsstufen
- Kapazitäten eines Transistors
- Frequenzgang

3. Verstärker

- Aufbau einstufiger Verstärker
- Wirkung der Kapazitäten
- Aufbau zweistufige Verstärker
- Pole und Nullstellen
- CMRR
- PSRR
- Slew Rate

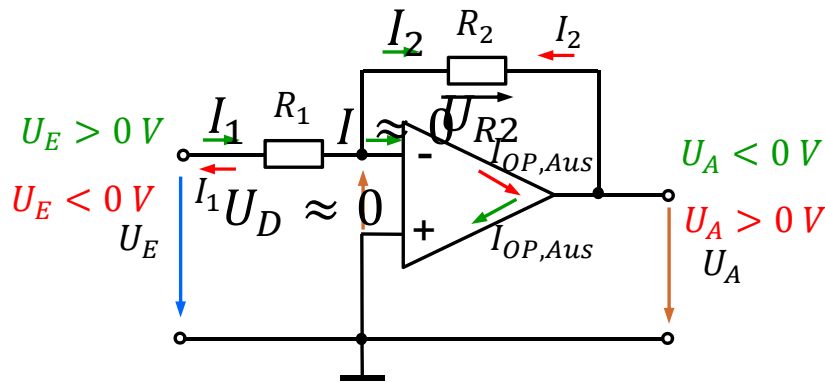
4. Anwendungen des OPV

- Invertierender Verstärker
- Übertragungsfunktion
- Frequenzgang (Bode-Diagramm)
- Verstärkungs-Bandbreite-Produkt
- Bandbreite eines gegengekoppelten OPV
- Summierer/ Subtrahierer
- Logarithmierer/ Integrierer
- Aktiver Tiefpass/ Hochpass 1. Ordnung
- Integrierer/ Differenzierer
- Komparator mit Hysterese

5. Gegen- und Mittkopplung

- Einfluss auf Eingangswiderstand
- Einfluss auf Ausgangswiderstand
- Frequenzgang
- Astabile Kippschaltung

Invertierender Verstärker



Für die Berechnung von A machen wir zwei Annahmen:

- (1) Prinzip des virtuellen Kurzschluss:
Wegen $U_D = 0 \text{ V}$ liegt der Knoten am invertierenden Eingang potentialmäßig auf Masse („virtuelle Masse“).
- (2) Der Strom, der in den invertierenden Eingang fließt, ist vernachlässigbar klein bzw. null.

Damit gilt wegen (1):
(U_E und U_A gegen Masse)

$$I_1 = \frac{U_{R1}}{R_1} = \frac{U_E}{R_1} \quad I_2 = \frac{U_{R2}}{R_2} = -\frac{U_A}{R_2}$$

und wegen (2):

$$I_1 = I_2 \Rightarrow \frac{U_E}{R_1} = -\frac{U_A}{R_2}$$

Der OP regelt seine Ausgangsspannung so aus, dass diese Beziehung gilt: $I_1 = I_2$

Damit folgt für $A = \frac{U_A}{U_E}$:

$$A = -\frac{R_2}{R_1}$$

(negative Verstärkung) \rightarrow Phasenumkehr

Man beachte: Ist $U_E > 0$, dann muss $U_A < 0$ werden!

Der Eingangswiderstand der Schaltung wird von R_1 bestimmt:

$$r_{Ein} = \frac{u_E}{i_1} = \frac{u_E}{u_E/R_1} = R_1$$

Der Eingangswiderstand der Schaltung ist wesentlich kleiner als der des OPs!! (Wirkung der GK!!).

Invertierender Verstärker mit endlichem A_D

Eine genauere Analyse mit endlichem A_D ergibt (→ Übung):

$$A = \frac{U_A}{U_E} = - \frac{\frac{R_2}{R_1}}{1 + \frac{1}{A_D} \cdot \left(1 + \frac{R_2}{R_1}\right)}$$

Hinweis:

$$U_A = A_D \cdot U_D$$

$$U_E = f(I_1, U_D)$$

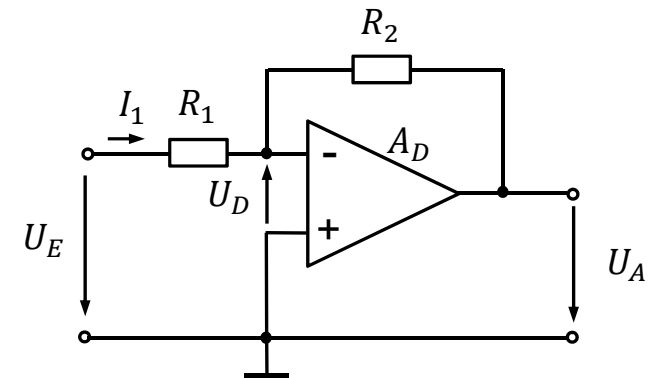
$$U_A = f(I_1, U_D)$$

A_D	U_E	U_A	$ A $	Fehler	U_D
10^5	10 mV	999 mV	99,90	- 0,10%	9,99 μ V
10^4	10 mV	990 mV	99,00	- 1,00%	99,0 μ V
10^3	10 mV	908 mV	90,83	- 9,17%	908 μ V

Man beachte in diesem Zusammenhang den Frequenzgang des OP!

Beispiel: Für eine Verstärkung vom Betrag 100 wählen wir z. B. $R_1 = 1k\Omega$, $R_2 = 100k\Omega$.

Wie groß ist für A die prozentuale Abweichung vom Idealwert $R_2/R_1 = 100$ bei verschiedenen, endlichen Leerlaufverstärkungen A_D ?

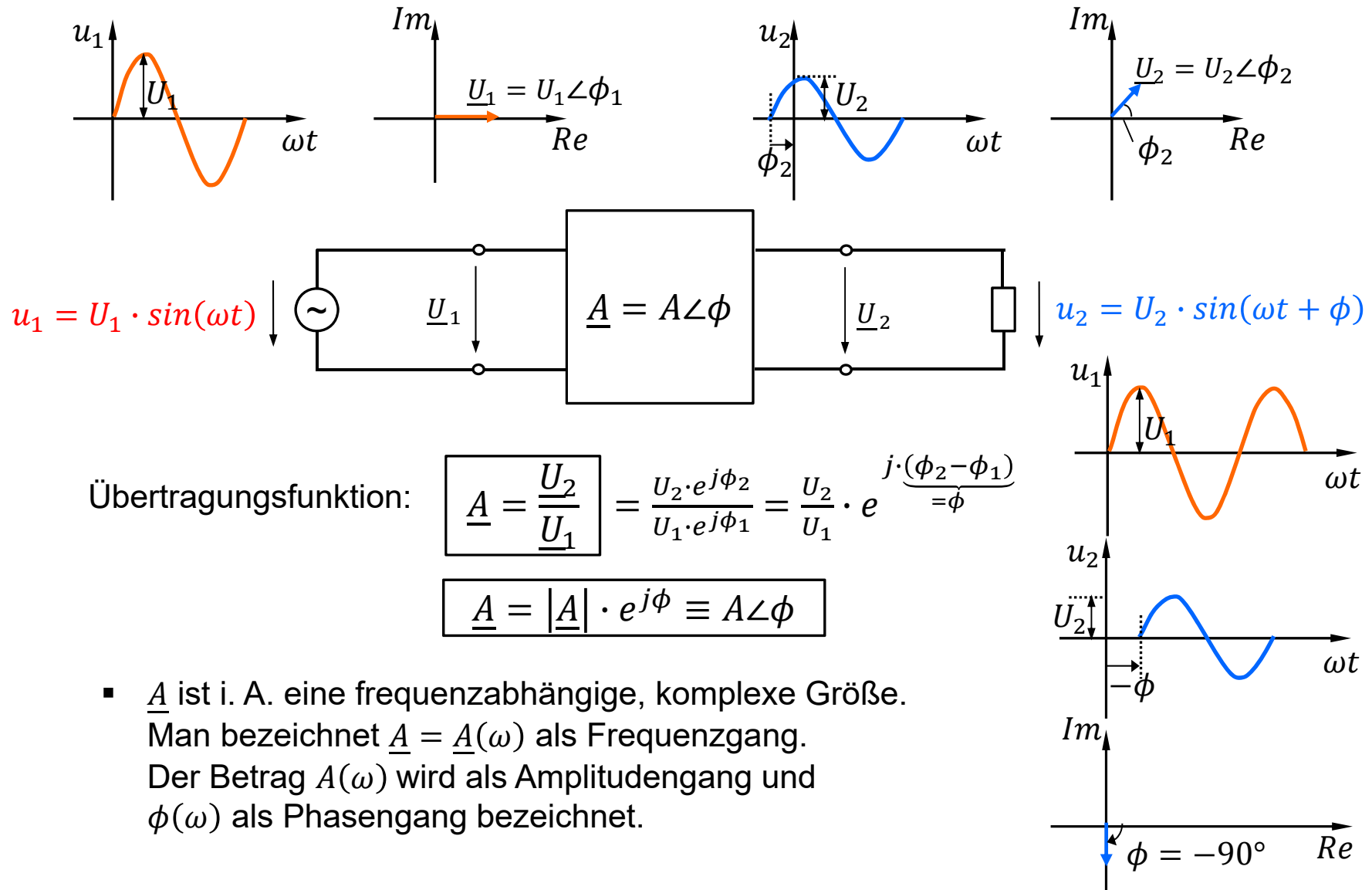


Der Eingangswiderstand der Schaltung wird von R_1 bestimmt:

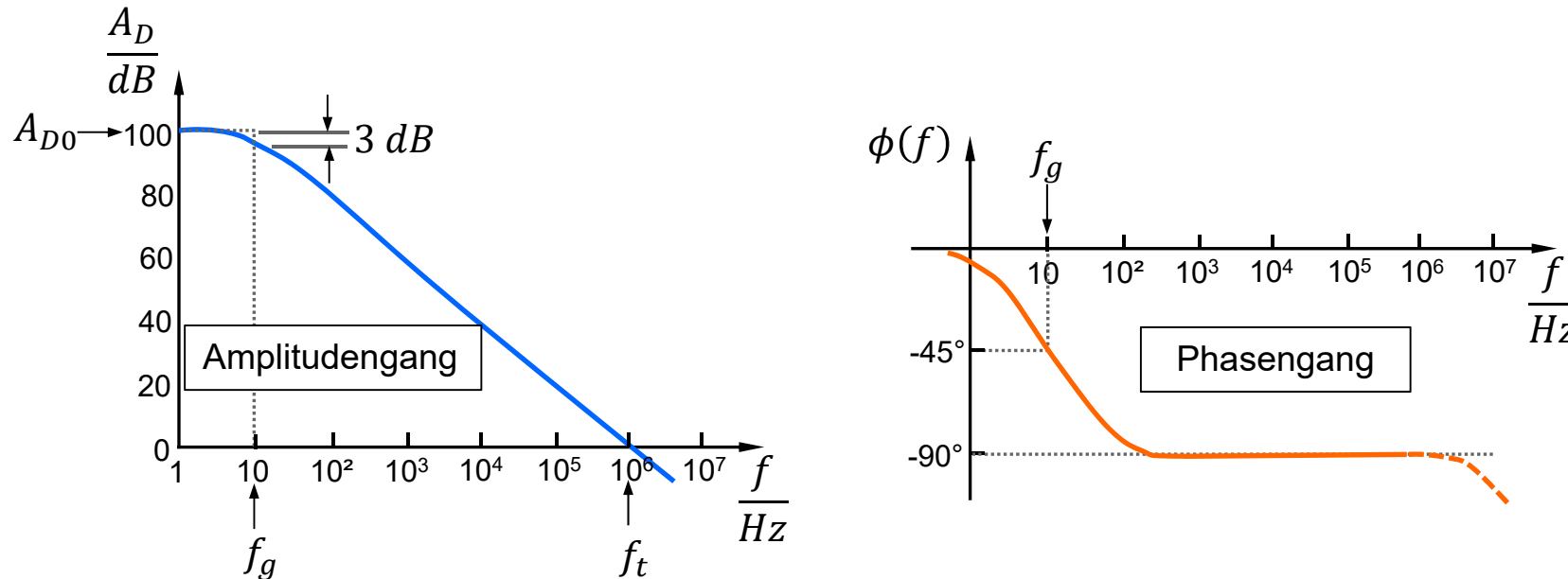
$$r_{Ein} = \frac{u_E}{i_1} = \frac{u_E}{u_E/R_1} = R_1$$

Der Ausgangswiderstand der Schaltung ist wesentlich kleiner als der des OPs (Wirkung der GK).

Übertragungsfunktion eines Vierpols



Frequenzgang eines OP (Bode-Diagramm)



- OPs haben aus Stabilitätsgründen den Frequenzgang eines Tiefpasses 1. Ordnung (internes oder externes, frequenzgangbestimmendes RC-Glied). (Systemtheorie)
- A_{D0} Differenzverstärkung des OP bei $f = 0 \text{ Hz}$ (Gleichspannung).
 f_g 3dB-Grenzfrequenz $\Rightarrow A_D(f_g) = \frac{1}{\sqrt{2}} \cdot A_{D0} = 0,707 \cdot A_{D0}$
 f_t Transitfrequenz (Durchtrittsfrequenz) $\Rightarrow A_D(f_t) = 1 (\hat{=} 0 \text{ dB})$

Verstärkungs-Bandbreite-Produkt

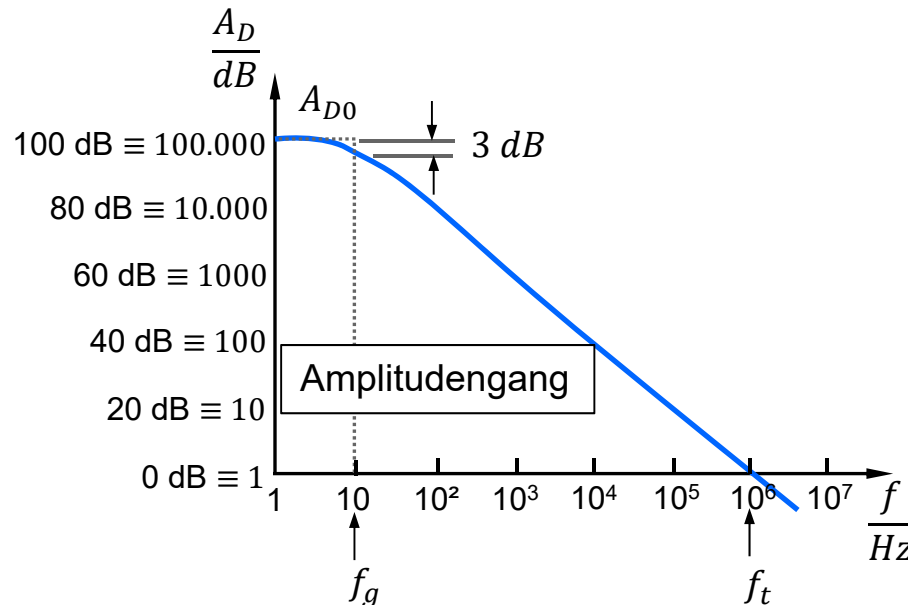
Wegen des TP-Verhaltens gilt für den Frequenzgang (ähnlich wie beim RC-Glied):

$$\underline{A_D}(f) = \frac{A_{D0}}{1 + j \cdot \frac{f}{f_g}} \Rightarrow A_D(f) = \frac{A_{D0}}{\sqrt{1 + \left(\frac{f}{f_g}\right)^2}} \stackrel{f \gg f_g}{\approx} \frac{A_{D0}}{\frac{f}{f_g}} = \frac{A_{D0} \cdot f_g}{f}$$

Daraus folgt (für $f > f_g$) die allgemeine Beziehung: $A_D(f) \cdot f = A_{D0} \cdot f_g \Rightarrow A_D \sim \frac{1}{f}$

Insbesondere gilt bei der Transitfrequenz:

$$1 \cdot f_t = A_{D0} \cdot f_g$$



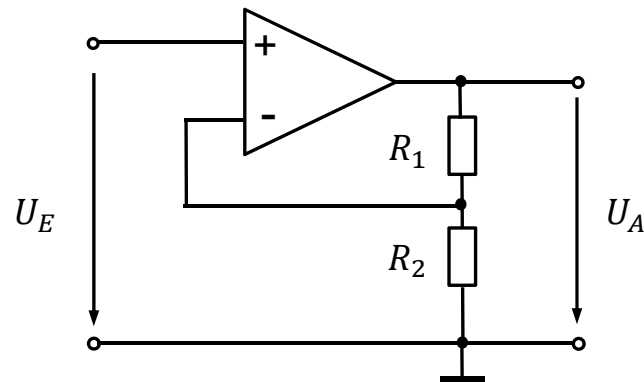
Das sog. Verstärkungs-Bandbreite-Produkt (*gain-bandwidth product – GBW*) ist eine wichtige Größe bzw. Gütezahl (*figure of merit*) des OPs (→ Datenblatt).

$$GBW : \\ = A_{D0} \cdot f_g (= A_D(f) \cdot f = const, f \gg f_g)$$

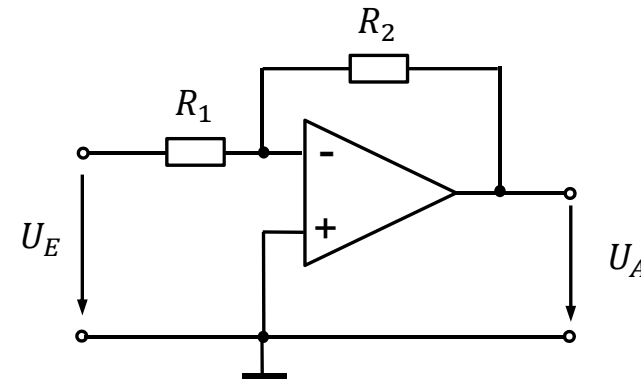
bzw.

$$GBW = f_t$$

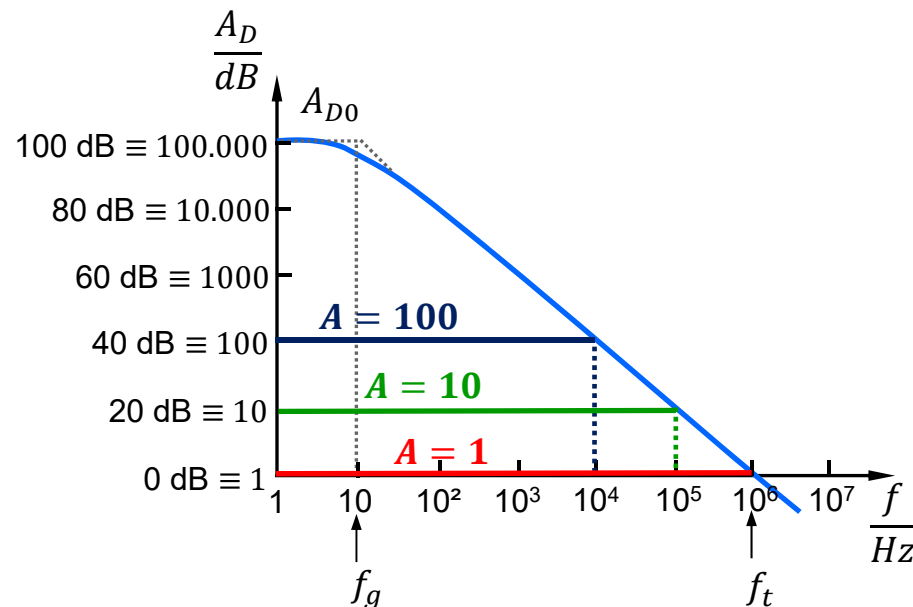
Bandbreite eines gegengegekoppelten OPs



nicht invertierender Spannungsverstärker



invertierender Spannungsverstärker



$$A = - \frac{\frac{R_2}{R_1}}{1 + \frac{1}{A_D} \cdot \left(1 + \frac{R_2}{R_1}\right)}$$

Die Bandbreite eines gegengegekoppelten Spannungsverstärkers ist von der, durch die äußere Beschaltung eingestellten, Verstärkung A abhängig!

Über diese Bandbreite hinaus hat man weiterhin das Verhalten eines Tiefpasses.

Summierer

Bei mehreren Eingängen werden alle Eingangsströme am Minus-Eingang addiert:

$$I_1 + I_2 + \dots + I_n = I_f$$

Bei einem idealen OP (virt. Masse) gilt:

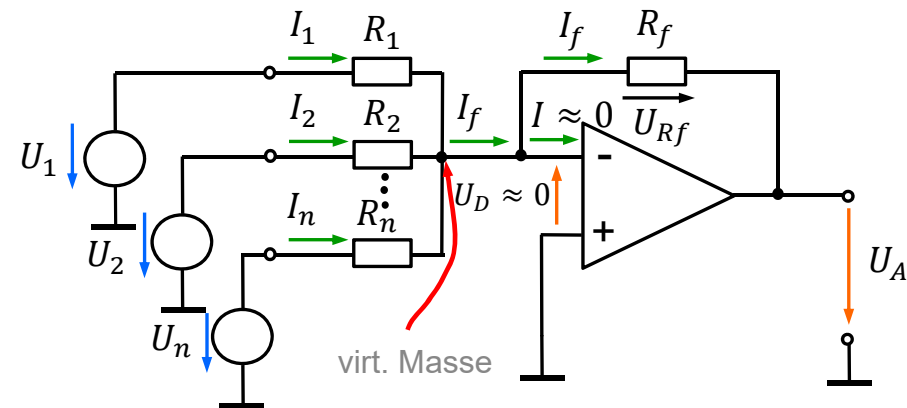
$$\frac{U_1}{R_1} + \frac{U_2}{R_2} + \dots + \frac{U_n}{R_n} = \frac{U_{Rf}}{R_f}$$

sowie: $U_A = -U_{Rf} = -I_f R_f$ und somit:

$$U_A = - \left(\frac{R_f}{R_1} \cdot U_1 + \frac{R_f}{R_2} \cdot U_2 + \dots + \frac{R_f}{R_n} \cdot U_n \right)$$

$$U_A = - \frac{R_f}{R_1} \cdot (U_1 + U_2 + \dots + U_n)$$

- Da der Minus-Eingang virtuell auf Masse liegt, sind die Eingänge voneinander entkoppelt, d. h. es fließen keine Ausgleichsströme zwischen den Spannungsquellen. \Rightarrow Stromaddition



Die Ausgangsspannung des Summierers ist gleich der negativen, gewichteten Summe der Eingangsspannungen - Superposition

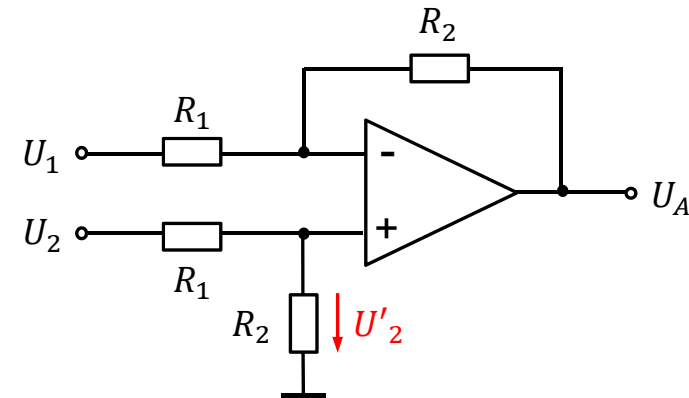
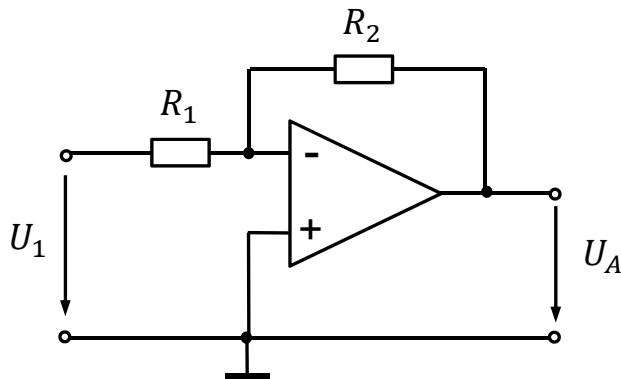
Im Falle gleicher Eingangswiderstände $R_1 = R_2 = \dots = R_n$ entfällt die Gewichtung der einzelnen Summenden.

Subtrahierer (Differenzverstärker)

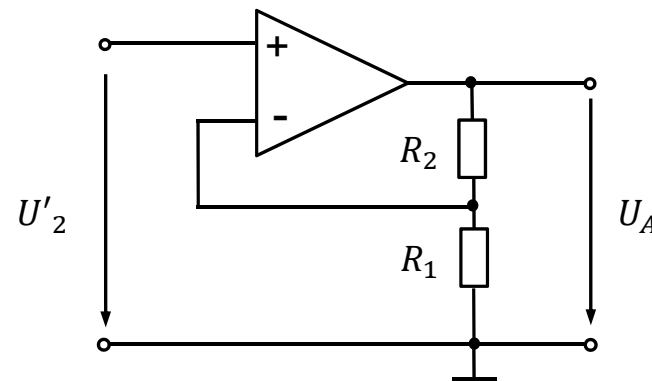
- Durch Kombination des invertierenden mit dem nicht invertierenden Verstärker erhält man einen gegengekoppelten Differenzverstärker.

Analyse mit Hilfe des Überlagerungssatzes:

$$U'_A \Big|_{U_2=0} = -\frac{R_2}{R_1} \cdot U_1 \quad U_1 \text{ für sich alleine wird invertierend verstärkt.}$$

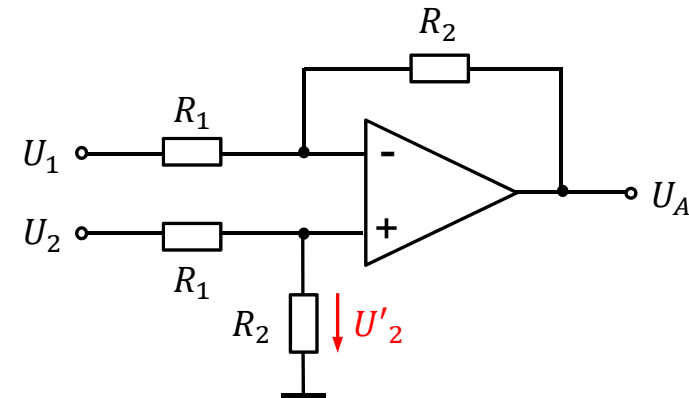


- Prinzip des „virtuellen“ Kurzschluss: Wegen $U_D = 0 \text{ V}$ liegt der Knoten am invertierenden Eingang auf dem gleichen Potential wie der nicht-invertierenden Eingang



Subtrahierer (Differenzverstärker)

- Durch Kombination des invertierenden mit dem nicht invertierenden Verstärker erhält man einen gegengekoppelten Differenzverstärker.



Analyse mit Hilfe des Überlagerungssatzes:

$$U'_A \Big|_{U_2=0} = -\frac{R_2}{R_1} \cdot U_1 \quad U_1 \text{ für sich alleine wird invertierend verstärkt.}$$

- Prinzip des „virtuellen“ Kurzschluss: Wegen $U_D = 0 \text{ V}$ liegt der Knoten am invertierenden Eingang auf dem gleichen Potential wie der nicht-invertierenden Eingang

Für U'_2 (U_2) wirkt der Verstärker nicht-invertierend:

$$U''_A \Big|_{U_1=0} = \left(1 + \frac{R_2}{R_1}\right) \cdot \underbrace{\frac{R_2}{R_1 + R_2} \cdot U_2}_{=U'_2} = \frac{R_2}{R_1} \cdot U_2 \quad U_2 \text{ für sich alleine wird nicht-invertierend verstärkt.}$$

Durch Überlagerung $U_A = U'_A + U''_A$ erhält man:

$$U_A = \frac{R_2}{R_1} \cdot (U_2 - U_1) \quad \begin{array}{l} \text{Nur die Differenz aus den beiden} \\ \text{Eingangsspannungen wird verstärkt.} \\ \text{Der Gleichtaktanteil wird ignoriert.} \end{array} \Rightarrow \text{Auswertung einer Brückenschaltung}$$

Logarithmierer

$$I_1 = \frac{U_E}{R_1} \quad I_D = I_S \cdot e^{\frac{U_{Diod}}{n \cdot U_{Temp}}}$$

Der OP stellt U_A so ein, dass $U_A = -U_{Diod}$ gilt und damit $I_1 = I_D$. Daraus ergibt sich:

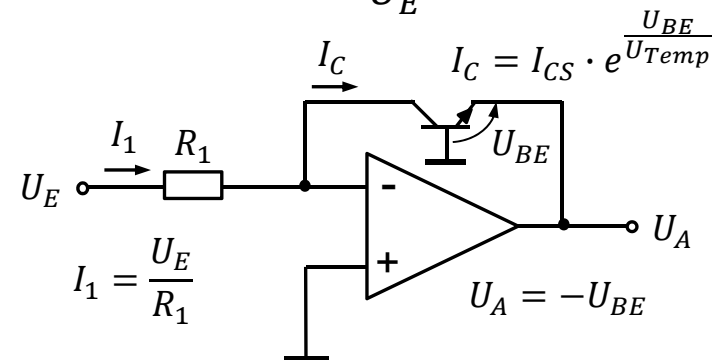
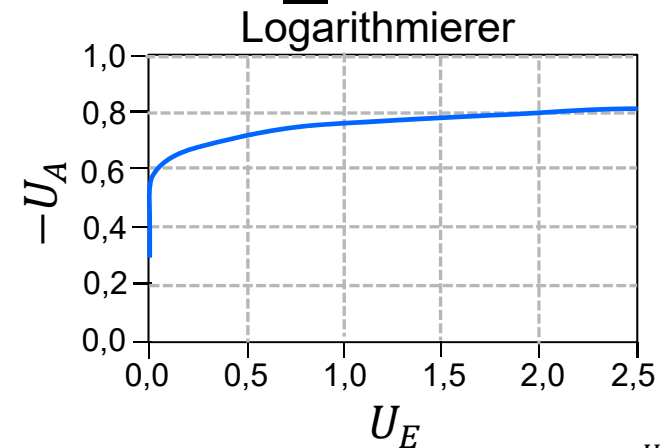
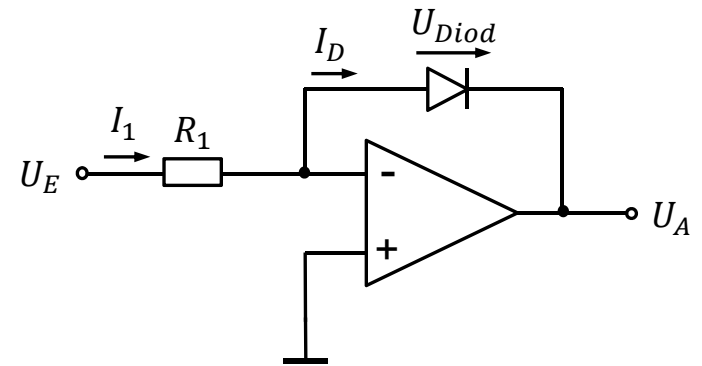
$$\frac{U_E}{R_1} = I_S \cdot e^{\frac{-U_A}{n \cdot U_{Temp}}} \Rightarrow U_A = -n \cdot U_{Temp} \cdot \ln \frac{U_E}{I_S \cdot R_1}$$

$$U_A = \underbrace{-n \cdot U_{Temp} \cdot \ln 10}_{=60 \dots 120 mV} \cdot \log_{10} \frac{U_E}{I_S \cdot R_1} \quad (\text{für } U_E > 0)$$

- Da der Emissionskoeffizient bei Dioden stromabhängig ist, lässt sich die Genauigkeit durch Verwendung eines BJT ($n = 1$) erheblich verbessern ($U_A = -U_{BE}$).

$$U_A = -U_{Temp} \cdot \ln \frac{U_E}{I_{CS} \cdot R_1} \quad (\text{für } U_E > 0)$$

- Einsatz: Multiplikation $\rightarrow \log(AB) = \log(A) + \log(B)$



Logarithmierer

$$I_1 = \frac{U_E}{R_1} \quad I_D = I_S \cdot e^{\frac{U_{Diod}}{n \cdot U_{Temp}}}$$

Der OP stellt U_A so ein, dass $U_A = -U_{Diod}$ gilt und damit $I_1 = I_D$. Daraus ergibt sich:

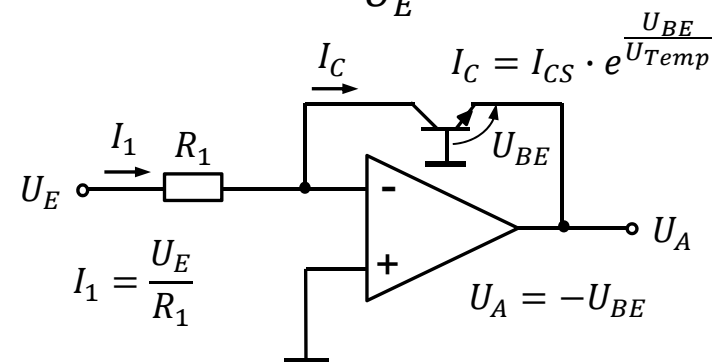
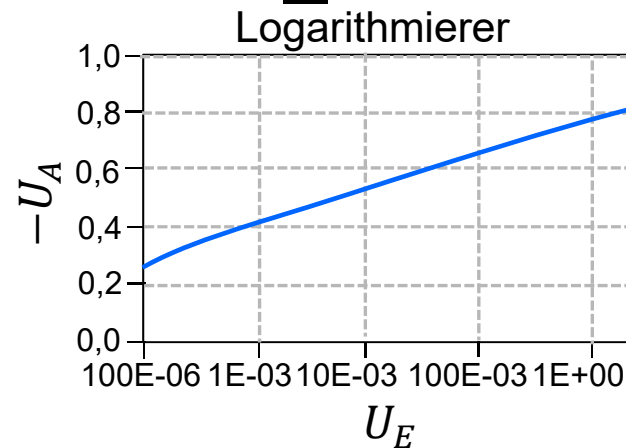
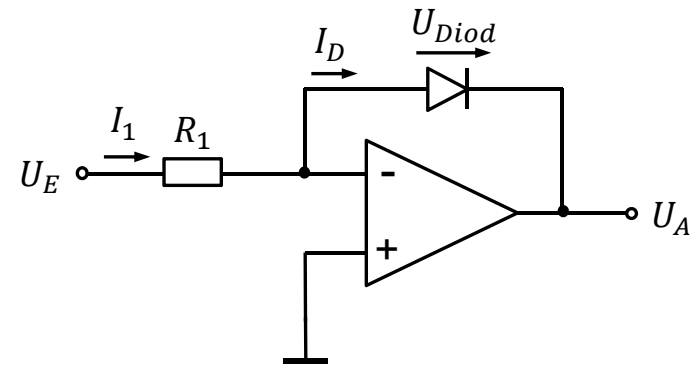
$$\frac{U_E}{R_1} = I_S \cdot e^{\frac{-U_A}{n \cdot U_{Temp}}} \Rightarrow U_A = -n \cdot U_{Temp} \cdot \ln \frac{U_E}{I_S \cdot R_1}$$

$$U_A = \underbrace{-n \cdot U_{Temp} \cdot \ln 10}_{=60 \dots 120 mV} \cdot \log_{10} \frac{U_E}{I_S \cdot R_1} \quad (\text{für } U_E > 0)$$

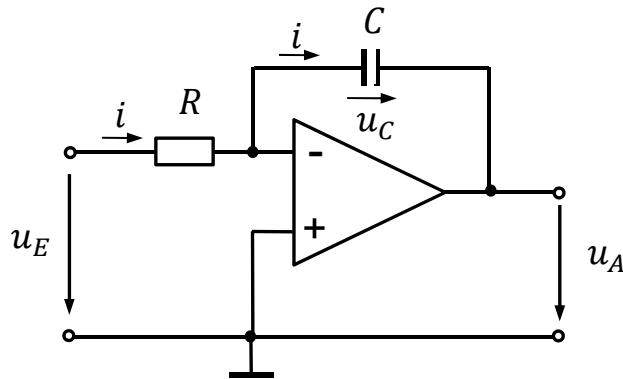
- Da der Emissionskoeffizient bei Dioden stromabhängig ist, lässt sich die Genauigkeit durch Verwendung eines BJT ($n = 1$) erheblich verbessern ($U_A = -U_{BE}$).

$$U_A = -U_{Temp} \cdot \ln \frac{U_E}{I_{CS} \cdot R_1} \quad (\text{für } U_E > 0)$$

- Einsatz: Multiplikation $\rightarrow \log(AB) = \log(A) + \log(B)$



(Integrierer) Integrator



Weil $u_A = -u_C$, ergibt sich:

$$u_A(t) = -\frac{1}{RC} \cdot \int_0^t u_E(t) dt$$

Bei vorgeladener Kapazität gilt $u_C(t_0) = -u_A(t_0) \neq 0$ verallgemeinert:

Die Eingangsspannung u_E hat den Strom $i = \frac{u_E}{R}$ zur Folge, mit welchem der Kondensator geladen wird.

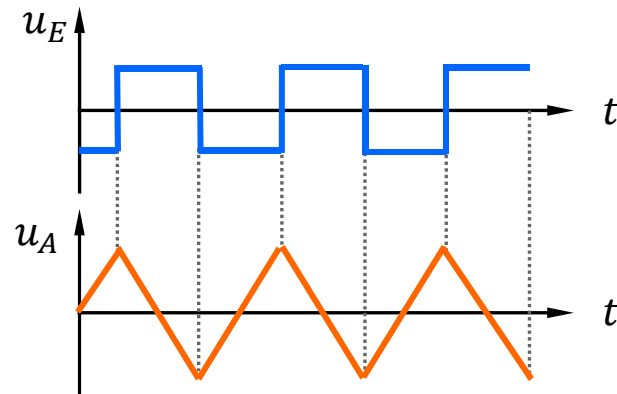
Es sei zunächst $u_C(0) = 0$ (C zum Zeitpunkt $t = 0$ ungeladen). In diesem Fall gilt für den zeitlichen Verlauf der Kondensatorspannung ($t > 0$):

$$u_C(t) = \frac{1}{C} \cdot \int_0^t i(t) dt = \frac{1}{C} \cdot \int_0^t \frac{u_E(t)}{R} dt$$

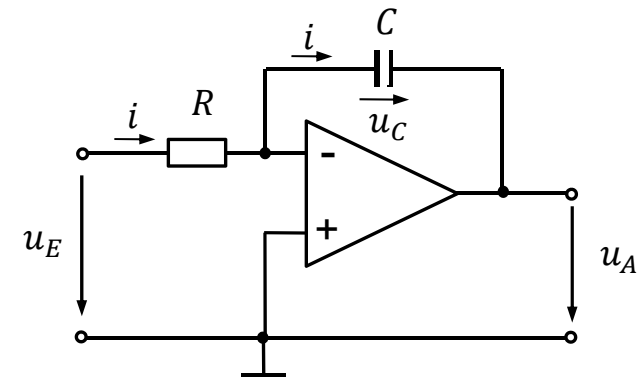
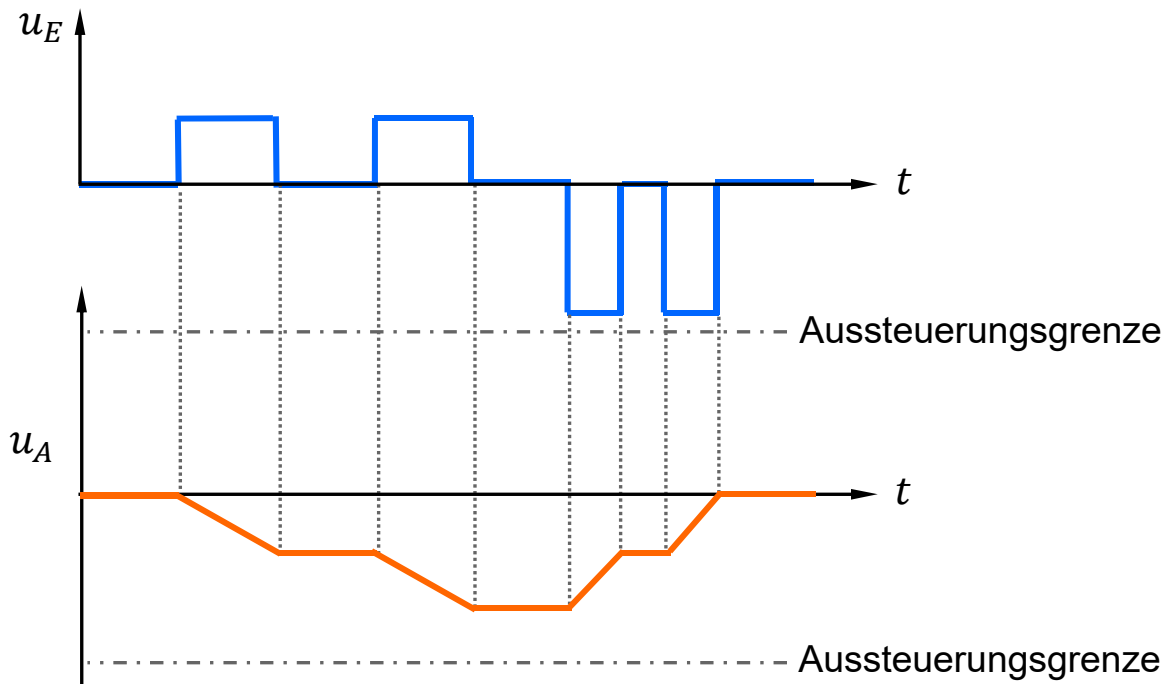
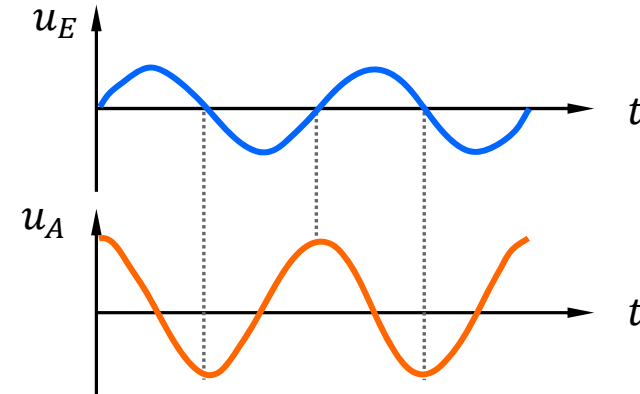
Die Ausgangsspannung des Integrierers ist das invertierte und mit $1/RC$ skalierte Zeitintegral der Eingangsspannung.

$$u_A(t) = -\frac{1}{RC} \cdot \int_{t_0}^t u_E(t) dt + u_A(t_0)$$

Integrator: Verhalten im Zeitbereich

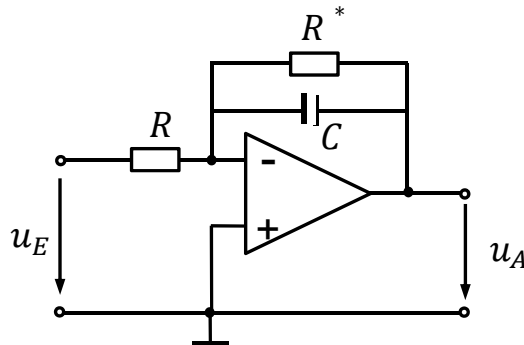
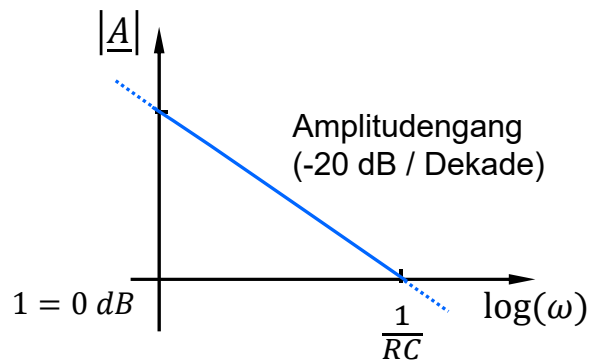
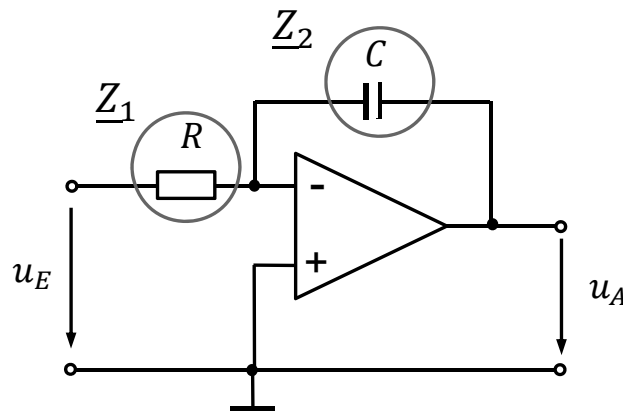


reine Wechselspannungen am Eingang (DC-Anteil null)



$$u_A(t) = -\frac{1}{RC} \cdot \int_0^t u_E(t) dt$$

Übertragungsfunktion des Integrators



Das Verhalten des Integrierers im Frequenzbereich wird durch seine Übertragungsfunktion beschrieben:

$$\underline{A} = \frac{U_A}{U_E} = -\frac{Z_2}{Z_1} = -\frac{1}{j\omega C R} = -\frac{1}{j\omega RC}$$

Die Übertragungsfunktion interessiert uns vor allem bei der Integration von periodischen Signalen ($\sin \omega t$). Die Zerlegung nach Betrag und Phase ergibt:

$$|\underline{A}| = \frac{1}{\omega RC}, \quad \phi = +90^\circ = \text{const}$$

- Der Integrierer verhält sich wie ein Tiefpass 1. Ordnung mit einer Grenzfrequenz von null. Bei $\omega = 0$ (DC) geht die Verstärkung gegen ∞ !
- Jeder noch so kleine Gleichspannungsanteil im Eingangssignal bedeutet, $u_A \rightarrow \infty$ (Integrierer läuft mit der Zeit in die Begrenzung).
- Durch einen zusätzlichen Parallelwiderstand R^* kann die DC-Verstärkung auf den Wert R^*/R begrenzt werden. Aber: Integrierer wird dadurch im Prinzip zum gewöhnlichen TP.

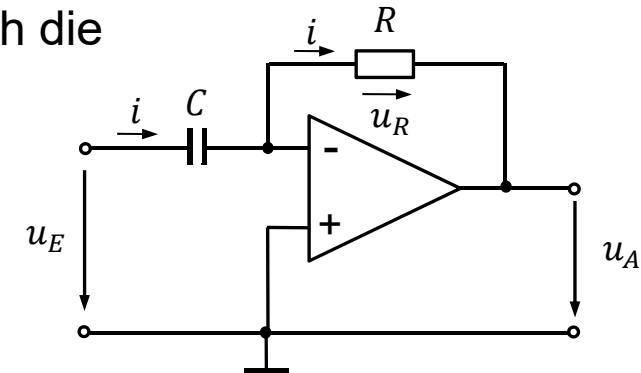
Differenzierer

Durch den Kondensator fließt nur dann Strom, wenn sich die Eingangsspannung ändert:

$$i(t) = C \cdot \frac{du_E(t)}{dt}$$

Mit $u_A = -u_R = -R \cdot i$ folgt:

$$u_A(t) = -RC \cdot \frac{du_E(t)}{dt}$$



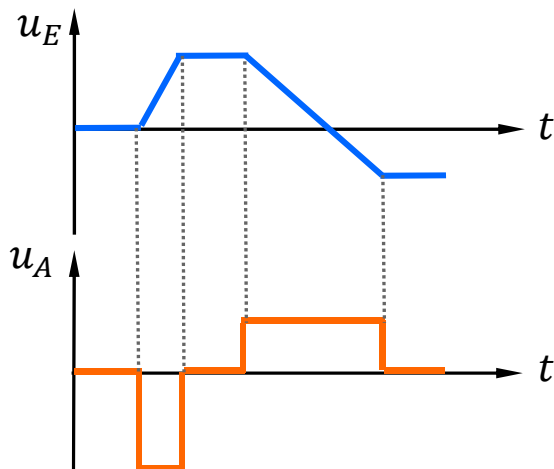
Die Ausgangsspannung ist proportional zur Änderungsgeschwindigkeit der Eingangsspannung. Der Differenzierer reagiert daher nur auf Änderungen am Eingang.

Betrachtung im Frequenzbereich:

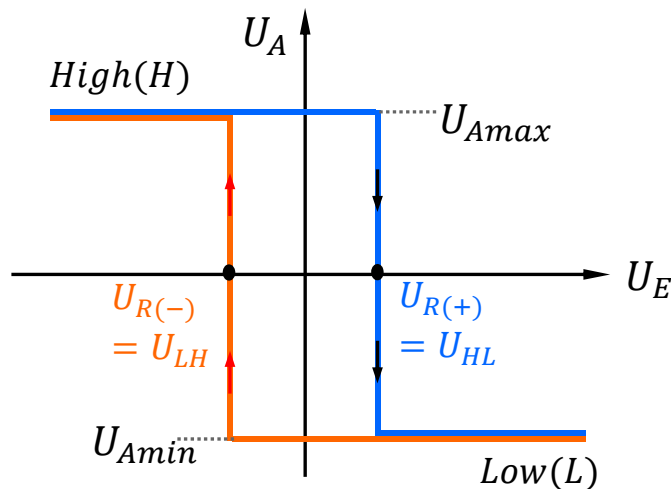
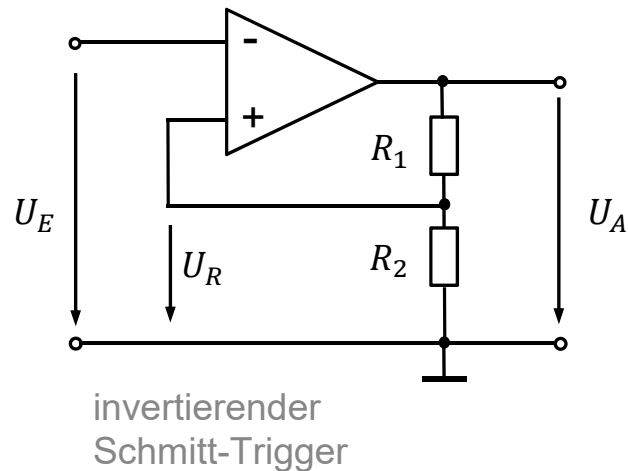
$$\underline{A} = \frac{\underline{U}_A}{\underline{U}_E} = -\frac{\underline{Z}_2}{\underline{Z}_1} = -\frac{R}{\frac{1}{j\omega C}} = -j\omega RC$$

$$|\underline{A}| = \omega RC, \quad \phi = -90^\circ = \text{const}$$

- Der Differenzierer verhält sich wie ein Hochpass 1. Ordnung mit Grenzfrequenz bei ∞ .
- Die Schaltung hat Stabilitätsprobleme (Schwingungsneigung). Abhilfe: kleines R_1 in Reihe zu C (Hochpass: $R_1 C$).



Komparator mit Hysterese (Schmitt-Trigger)



- **Mitkopplung** statt Gegenkopplung: Ein Teil von U_A wird **additiv** auf den Eingang zurückgeführt.

- Schmitt-Trigger: Modifizierter Schwellwertschalter mit 2 Schaltwellen anstatt einer (→ immun gegen gestörte Eingangssignale).
- Der Ausgang kann sich nur sprunghaft zwischen den beiden Sättigungsgrenzen U_{Amax} und U_{Amin} ändern. Entsprechendes gilt auch für die rückgekoppelte Spannung U_R :

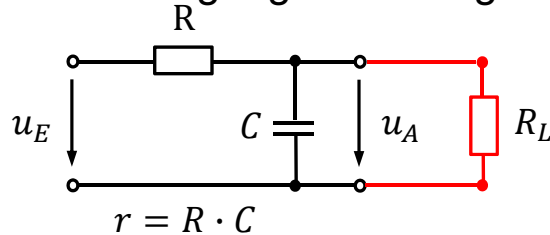
$$U_{R(+)} = \frac{R_2}{R_1 + R_2} \cdot U_{Amax} \quad U_{R(-)} = \frac{R_2}{R_1 + R_2} \cdot U_{Amin}$$

- Die Schaltung kippt genau dann in den jeweils anderen Zustand, wenn U_E den aktuellen Wert von U_R erreicht. Die beiden Schaltschwellen liegen daher:

$$U_{HL} = \frac{R_2}{R_1 + R_2} \cdot U_{Amax} \quad U_{LH} = \frac{R_2}{R_1 + R_2} \cdot U_{Amin}$$

Aktiver Tiefpass 1. Ordnung

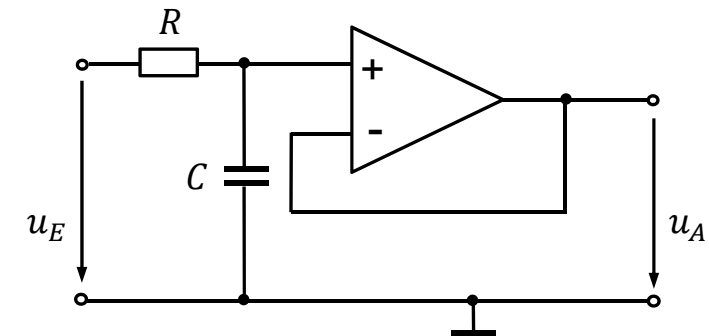
Übertragungsfunktion gilt nur für ein unbelastetes RC-Glied! $\max(|A|)=1$



$$\underline{A} = \frac{\underline{U}_A}{\underline{U}_E} = \frac{\frac{1}{j\omega C}}{\frac{1}{j\omega C} + R} = \frac{1}{1 + j\omega RC}$$

- Damit sich eine Belastung des Ausgangs nicht auf den Frequenzgang auswirkt, kann ein Buffer nachgeschaltet werden.

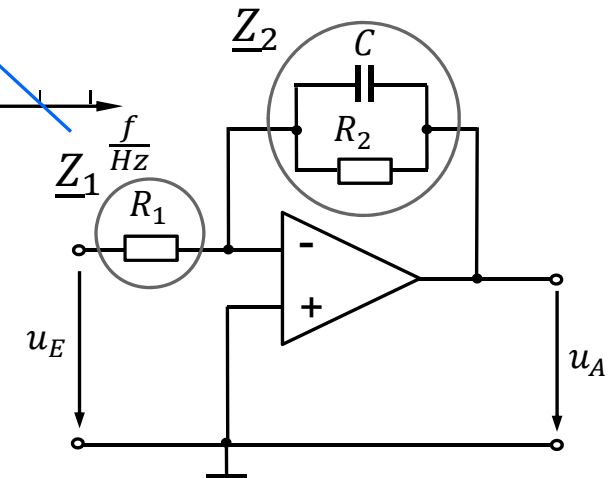
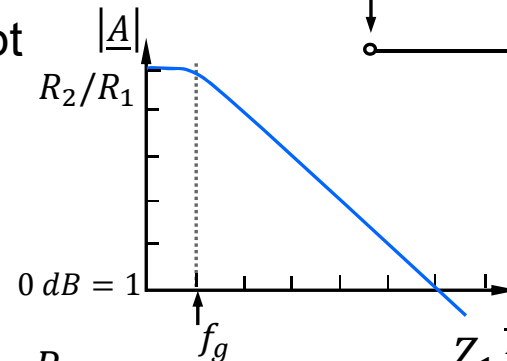
Nachteil: Der Eingangswiderstand bleibt dabei jedoch frequenzabhängig.



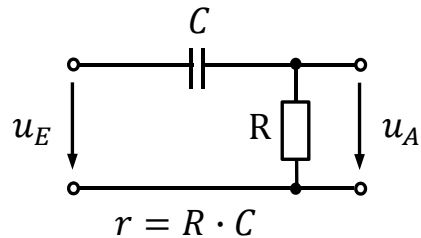
- Besser: Invertierender Verstärker mit frequenzabhängiger Gegenkopplung.

$$\underline{A} = \frac{\underline{U}_A}{\underline{U}_E} = -\frac{\underline{Z}_2}{\underline{Z}_1}, \text{ wobei } \underline{Z}_1 = R_1, \underline{Z}_2 = \frac{R_2}{1 + j\omega R_2 C}$$

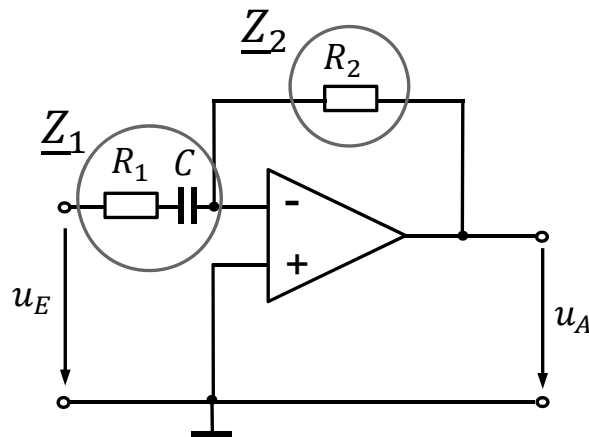
$$\Rightarrow \underline{A} = \underbrace{-\frac{R_2}{R_1}}_{\text{DC-Verstärk.}} \cdot \underbrace{\frac{1}{1 + j\omega R_2 C}}_{=\tau} \quad f_g = \frac{1}{2\pi \cdot \tau} = \frac{1}{2\pi \cdot R_2 C}$$



Aktiver Hochpass 1. Ordnung



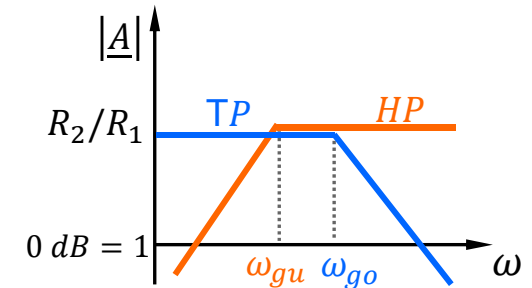
$$\underline{A} = \frac{\underline{U}_A}{\underline{U}_E} = \frac{R}{R + \frac{1}{j\omega C}} = \frac{j\omega RC}{1 + j\omega RC}$$



$$\underline{A} = \frac{\underline{U}_A}{\underline{U}_E} = -\frac{\underline{Z}_2}{\underline{Z}_1}, \text{ wobei } \underline{Z}_1 = R_1 + \frac{1}{j\omega C}, \quad \underline{Z}_2 = R_2$$

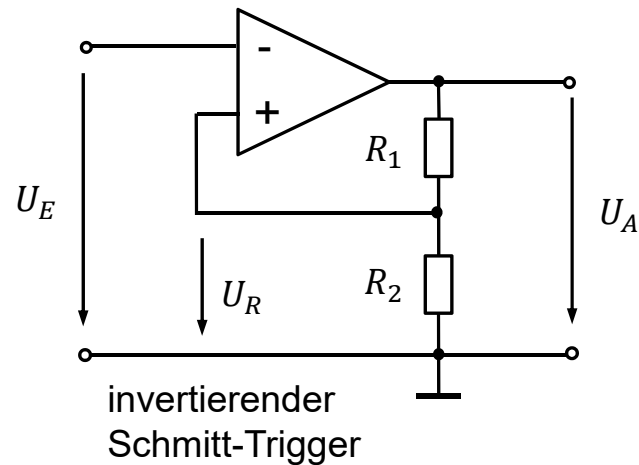
$$\Rightarrow \underline{A} = \underbrace{-\frac{R_2}{R_1}}_{\underline{A}(\omega \rightarrow \infty)} \cdot \frac{j\omega R_1 C}{1 + j\omega \underbrace{R_1 C}_{=\tau}}$$

$$f_g = \frac{1}{2\pi \cdot \tau} = \frac{1}{2\pi \cdot R_1 C}$$



- Bei höheren Frequenzen ist der Verstärkungsabfall des OPs zu berücksichtigen (Tiefpassverhalten des realen OPs). Die Schaltung arbeitet daher genau genommen als Bandpass.
- Mit OPs lassen sich auch Filter höherer Ordnung einfach realisieren (→ größere Flankensteilheit). Bei aktiven Filtern kann auf den Einsatz von Induktivitäten grundsätzlich verzichtet werden.

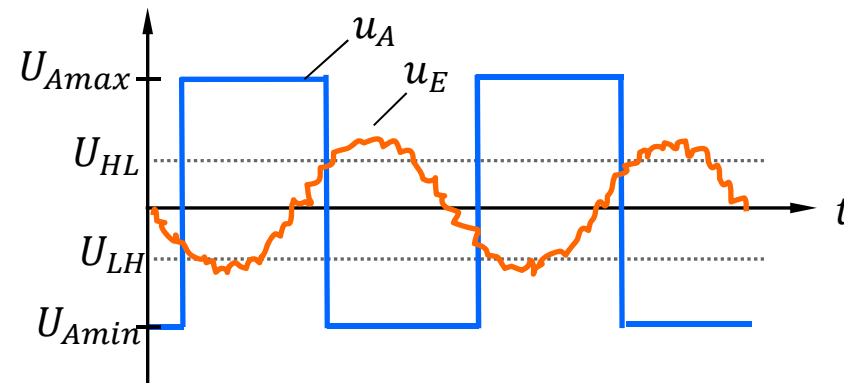
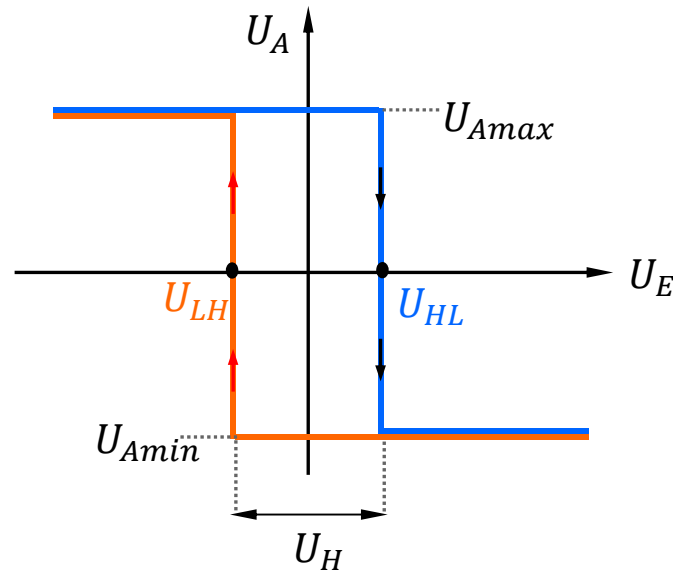
Invertierender Schmitt-Trigger



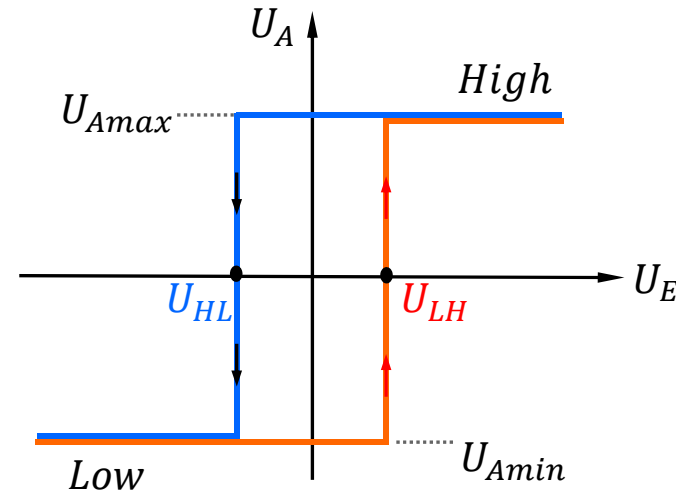
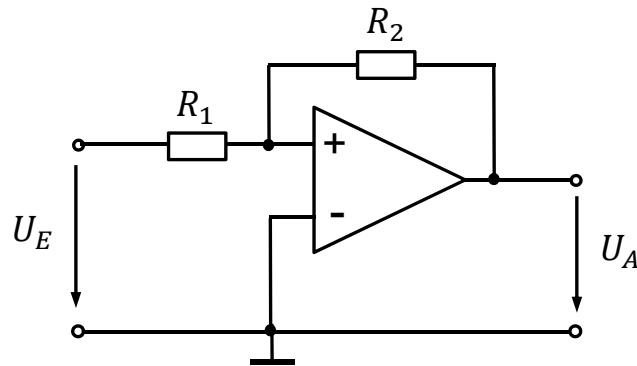
- Die Übertragungskennlinie hat eine Hysterese: U_A hängt nicht allein von U_E ab, sondern auch von der „Vorgeschichte“ (d.h. vom aktuellen Zustand).

Die Breite der Hysterese beträgt:

$$U_H = U_{HL} - U_{LH} = \frac{R_2}{R_1 + R_2} \cdot (U_{Amax} - U_{Amin})$$



Nicht invertierender Schmitt-Trigger



Die Schaltung kippt jeweils um, sobald die Eingangsspannung die Differenz am OP-Eingang zu null werden lässt.

Man kann zeigen (Überlagerungssatz, Spannungsteilerregel → Übung):

$$U_{HL} = -\frac{R_1}{R_2} \cdot U_{Amax} \quad U_{LH} = -\frac{R_1}{R_2} \cdot U_{Amin}$$

$$\frac{U_{HL}}{R_1} = -\frac{U_{Amax}}{R_2} \quad \frac{U_{LH}}{R_1} = -\frac{U_{Amin}}{R_2}$$

